

大阪大学工学部 正員 小松定夫
 大阪大学工学部 正員 北田俊行
 大阪大学大学院 学生員 竹谷栄一

1. まえがき 残留応力と初期たわみを同時に有する圧縮補剛板の極限強度に関する研究の一環として、以前に文献1)で近似解析法を提示した。ここでは、その解析法を連續圧縮補剛板の解析へと拡張し、別途に並行して進めている厳密解析法²⁾および多くの研究者により得られた実験値と対比させて本近似解析法の精度の検証を行なうと共に、板パネルの有効幅部分と補剛材のらなる有効補剛材の細長比と極限強度 $\bar{\sigma}_m$ の関係をグラフ化し、グラフを用いた手計算でも十分な精度の解が得られる図式算定法を提示している。

2. 厳密解析法による結果および種々の実験値と本解析結果との比較 今回、片側に補剛材を設けた非対称断面の補剛板の挙動をより忠実に把握するために、図-1(A)に示すような連続補剛板を考え、それと図-1(B)のようにモデル化して解析を行なった。すなわち、支間中央部DおよびEのたわみ角を0にして、Xの位置に一様相対圧縮変位を導入した。境界条件の取り扱いが異なる以外は図の解析法も文献1)で示した單一補剛板パネルの場合とほぼ同様である。計算例に用いた解析モデルの諸元を表-1に示す。表中、nは縦リブ数、Lは反縮軸方向の固定間距離、βは端横比、δは図-1に示す縦リブの初期たわみ、W₀は、縦リブ間の板パネルの初期たわみである。残留応力分布に関する他の記号については文献3)に準じる。これら諸元を基に、道路橋示方書およびDIN 4114に従って補剛板を設計し、Xの補剛板の極限強度を本近似計算法を用いて計算し、その結果を以下のデータと共に図-2および図-3に示す。① それぞれの示方書で規定してある耐荷力和および許容応力度。② 厳密解析法による結果。③これまで行なわれた実験結果のうちで、それぞれの示方書の規定を満足する供試体の実験値。④これらの実験値の平均値 S_1 と $S_1 - 2\sigma$ の直線。ここでは標準偏差 σ を示す。これらの図より本近似解析法による結果は、厳密解析法のものと比較すると若干安全側の値となり、また、種々の実験値の

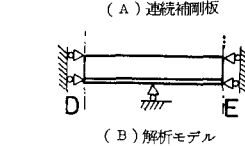
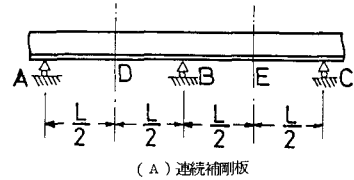


図-1 解析モデル

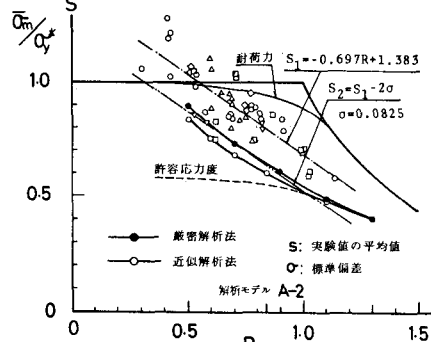


図-2 近似解析法と厳密解析法との比較(道示)

図-3 近似解析法と厳密解析法との比較(DIN 4114)

表-1 解析モデルの諸元

適合していること	モデル	n	α	b	σ_y	σ_{yr}	hr/tr	δ/L	W_0/b	σ_{rc}^*	σ_{rt}^*	σ_{rcr}^*	σ_{rsr}^*	σ_{rtr}^*	γ_s	γ_{ss}	γ_t
A-1	A-1	4	1	48	2400	2400	13	0.001	1/150	-0.3	1.0	-0.2	0.6	1.0	1/8	1/4	1/2
A-2	A-2	3	1	48	2400	2400	13	0.001	1/150	-0.3	1.0	-0.2	0.6	1.0	1/8	1/4	1/2

がわかる。すなはち、本近似解析法を設計に用いる場合の有用性が示されたものと思われる。しかし、まだ本近似解析法の適用範囲という問題が残っていながら、これについては後日報告する予定である。

3. 极限强度の図式算定法 図式算定法の計算手順を図-6に示す。上述の計算値について、図-6の⑦の有効補剛材の極限强度 σ_m をコンピューターを用いて計算していく。この σ_m と有効補剛材の細長比入の関係を図-5に示すようにグラフ化し、繰り返しの初期不整を λ をパラメータとして、 σ_m/σ_y - 入曲線から σ_m を読み取るようとした。 σ_m/σ_y - 入曲線を描く際、パラメータとして他に板パネルの無次元幅厚比 R および織りの突出幅厚比 hr/t_r が考えられる。 $R = 0.7, 1.1$,

$hr/t_r = 7, 13$ についても解析を行なったが、大きな差は認められなかった。また図-6の③、⑩の有効幅係数 K_{bs} については、今までどおり、周辺単純支持の圧縮級の極限强度曲線である図-4の $K_{bs}-R$ 曲線から読み取る。結果じありコンピューターを用いて求めた結果①と図式算定法により求めた結果②を対比して表-2に示す。その際、道路橋示方書およびDIN4114以外に、鋼鉄道橋設計標準（織りの必要最小剛比が直角の5倍）に従って設計した補剛材についても解析を行なった。この表より、図式算定法による誤差は、ほぼ±4%以内に収まり、圧縮補剛板の安全性を簡単に検証する際、本図式算定法は極めて有用であることがわかる。

参考文献
リガ替・小松・北田、補剛された圧縮級の極限強度に関する研究、31回土木学会年講概要集、I-144、2) 原良・小松・北田、初期不整を含む織りで補剛された連続圧縮級の弾塑性解析、32回土木学会年講概要集、I-282、3) 小松・牛尾・北田、補剛材の端部強度応力分布及び初期不整に用いる実験的研究、土木学会論文報告集、第265号、1977年9月、4) 北田・小松・原良、織りで補剛された連続圧縮級の極限强度曲線、33回土木学会年講概要集、5) 小松・北田、初期不整を有する圧縮級の極限強度特性に関する研究、土木学会論文報告集、第270号、1978年2月

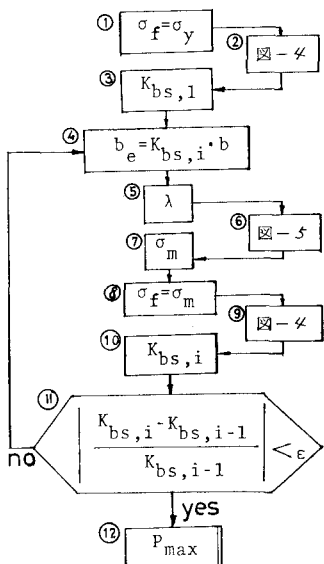


図-6 図式算定法の計算手順

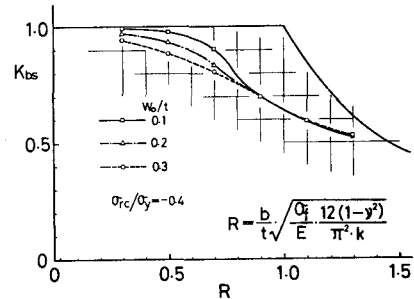


図-4 $K_{bs} - R$ 曲線

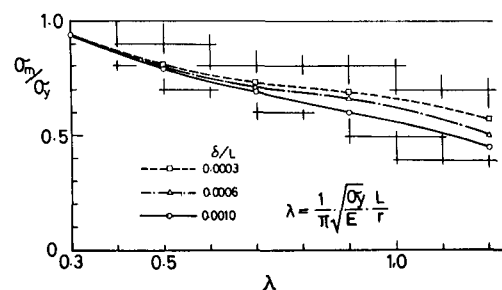


図-5 $\sigma_m/\sigma_y - \lambda$ 曲線

表-2 近似解析法と図式算定法との比較

解析モデル 試験用いた 示方書	A-1		A-2		誤差	
	R	$\bar{\sigma}_{max}/\sigma_y$	誤差	$\bar{\sigma}_{max}/\sigma_y$		
		①	②	①	②	
道示 (1973)	0.5	0.72	0.72	0	0.74	0.75
	0.6	0.69	0.70	1.4	0.71	0.72
	0.7	0.66	0.66	0	0.68	0.68
	0.84	0.61	0.62	1.6	0.62	0.63
DIN 4114 (1973)	0.5	0.81	0.80	-1.3	0.84	0.81
	0.6	0.72	0.73	1.4	0.75	0.75
	0.7	0.66	0.67	1.5	0.68	0.68
	0.84	0.58	0.60	3.4	0.60	0.61
	1.1	0.47	0.47	0	0.48	0.48
	1.3	0.39	0.39	0	0.40	0.41
	no	$\frac{K_{bs,i} - K_{bs,i-1}}{K_{bs,i-1}}$	$< \epsilon$	yes	p_{max}	
鉄道標準 (1975)	0.5	0.88	0.88	0	0.86	0.88
	0.6	0.84	0.84	0	0.85	0.84
	0.7	0.81	0.80	-1.2	0.81	0.80
	0.84	0.75	0.75	0	0.75	0
	no	$\frac{K_{bs,i} - K_{bs,i-1}}{K_{bs,i-1}}$	$< \epsilon$	yes	p_{max}	
① 近似解析法		平均	0.5	平均	0.3	
② 図式算定法		標準偏差	1.2	標準偏差	1.5	